

神戸大学工学部 正員 北村泰春

1. まとめ 漸性地盤上の構造物の動的解析において、構造物と地盤の接觸面を有限個の要素に分割する数值解法を利用するとき、地盤の柔軟マトリックスが必要となる。この柔軟マトリックスは各要素に作用する等分布加振力による各要素の中央変位として求められる。また、各要素の変位正載荷要素の中央変位と載荷要素外の要素の変位に分けるとき、前者についてはその一部まで報告した。¹⁾ 本文では、前報の結果も含め、載荷要素については矩形加振と円形加振の比較、また載荷要素外の変位については矩形加振、円形加振、点加振の比較を行ない、地盤の柔軟マトリックスに対する総合的な検討を加えよう。

2. 変位式 漸性体表面の矩形面に作用する上下方向等分布加振力 $f_{xz} e^{i\omega t}$ による表面の上下変位 u_z および水平方向等分布加振力 $f_{xz} e^{i\omega t}$ による表面に加振方向水平変位 u_x はそれぞれ次のようく導かれていく。²⁾

$$u_z = -\frac{4a f_{xz} e^{i\omega t}}{\pi^2 \mu_1 a_0} \int_0^\infty \int_0^{\pi/2} \frac{\alpha_1 W(\xi)}{\xi F(\xi) \cos \theta} d\theta d\xi \quad \dots \dots \dots (1) \quad u_x = -\frac{4a f_{xz} e^{i\omega t}}{\pi^2 \mu_1 a_0} \int_0^\infty \int_0^{\pi/2} \left\{ \frac{\beta_1 U(\xi)}{\xi F(\xi)} \cos \theta + \frac{H(\xi)}{\xi G(\xi)} \sin \theta \right\} \frac{T(\xi, \theta)}{\cos \theta} d\theta d\xi \quad \dots \dots \dots (2)$$

一方、円形等分布加振力による変位は次式のようく表わされる。³⁾

$$u_z = -\frac{a C f_{xz} e^{i\omega t}}{\mu_1} \int_0^\infty \frac{\alpha_1 W(\xi)}{F(\xi)} J_0(Ra_0 \xi) J_1(Ca_0 \xi) d\xi \quad \dots \dots \dots (3) \quad u_x = -\frac{a C f_{xz} e^{i\omega t}}{2 \mu_1} \int_0^\infty \left\{ \frac{\beta_1 U(\xi)}{F(\xi)} D(\xi) + \frac{H(\xi)}{G(\xi)} E(\xi) \right\} J_1(Ca_0 \xi) d\xi \quad \dots \dots \dots (4)$$

また、合力が等しい点加振力による変位は次式のようく求められる。³⁾

$$u_z = -\frac{b a_0 f_{xz} e^{i\omega t}}{2 \pi \mu_1} \int_0^\infty \frac{\xi \alpha_1 W(\xi)}{F(\xi)} J_0(Ra_0 \xi) d\xi \quad \dots \dots \dots (5) \quad u_x = -\frac{b a_0 f_{xz} e^{i\omega t}}{4 \pi \mu_1} \int_0^\infty \left\{ \frac{\xi \beta_1 U(\xi)}{F(\xi)} D(\xi) + \frac{\xi H(\xi)}{G(\xi)} E(\xi) \right\} d\xi \quad \dots \dots \dots (6)$$

ここで、 $T(\xi, \theta) = \cos(\xi X a_0 \cos \theta) \cos(\xi Y a_0 \sin \theta) \sin(\xi a_0 \cos \theta/2) \sin(\xi b_0 \sin \theta/2)$, $\alpha_1 = \sqrt{\xi^2 - r^2}$, $\beta_1 = \sqrt{\xi^2 - 1}$, $\chi = \sqrt{(1-2v_1)/2(1-v_1)}$, $D(\xi) = J_0(Ra_0 \xi) - (x^2 - y^2) J_2(Ra_0 \xi)/r^2$, $E(\xi) = J_1(Ra_0 \xi) + (x^2 - y^2) J_2(Ra_0 \xi)/r^2$, $a_0 = \omega a/\nu_{s1}$, $b_0 = \omega b/\nu_{s1}$, $X = x/a$, $Y = y/a$, $R = r/a = \sqrt{x^2 + Y^2}$, $C = \sqrt{(b/a)/\pi}$ (等価半径)

ただし、 α , β は矩形面の幅, ν_{s1} , μ_1 , v_1 はそれぞれ表層の横波速度, 垂直剪断弹性係数, 不アソニ比である。なお、 $F(\xi)$, $W(\xi)$, $U(\xi)$, $G(\xi)$, $H(\xi)$ 等は層剛性比, 層厚などに関係するが、前面の都合上その詳解については省略する。また、各変位式の数値計算には直接数値積分を利用し、数値積分の収束を早めるため工夫も付けていたがこれらについても詳細な省略する。ところが、式(1), (3), (5) および式(2), (4), (6)において、共通する項を除いて対応する項のみを注目すると、それらの対応する項は無次元振動数 a_0 , 振源距離 x/a , y/a , 載荷面形状等に關係していながら、層剛性比、層厚等には依存していないことがわかる。

3. 載荷要素の中央変位 前報では、半無限漸性体において分割要素に矩形を用いた場合とこれと等価な面積の円形とした場合の変位の比較を行った。それによれば、分割要素に正方形を用いる限り、円形加振による変位で代用してよいことがわかった。次に、図-1は a_0 の変化に対する載荷面内の変位分布の変化を調べたものであるが、載

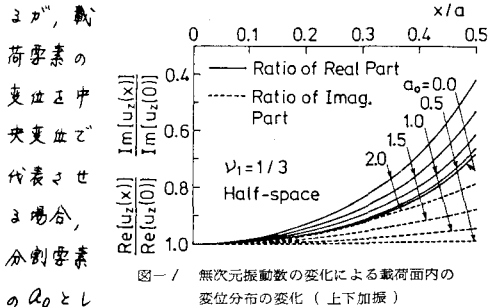


表1/ 二層弹性体において載荷面形状が載荷面中央変位に及ぼす影響 ($a_0=0.5$, $v_1=1/3$)

| | u_2/u_1 | h_1/a | Square Source | | Circular Source | |
|--------------------------------------|-----------|---------|---------------|------------|-----------------|------------|
| | | | Real Part | Imag. Part | Real Part | Imag. Part |
| $\frac{2\pi u_1 u_2}{(1-v_1) a q_z}$ | 2 | 5 | 3.5967 | -0.6890 | 3.6169 | -0.6892 |
| | 10 | 5 | 4.2243 | -0.5417 | 4.2845 | -0.5418 |
| | ∞ | 1 | 2.2547 | 0.0000 | 2.2669 | 0.0000 |
| | 10 | 5 | 4.0708 | -0.0738 | 4.0924 | -0.0738 |
| $\frac{2\pi u_1 u_x}{(1-v_1) a q_x}$ | 2 | 5 | 4.3557 | -0.5915 | 4.3816 | -0.5916 |
| | 10 | 5 | 4.3320 | -0.5760 | 4.3770 | -0.5762 |
| | ∞ | 1 | 3.6597 | 0.0000 | 3.6789 | 0.0000 |
| | 5 | 5 | 4.2863 | -0.5894 | 4.3125 | -0.5895 |
| | 10 | 5 | 4.3551 | -0.6930 | 4.3886 | -0.6932 |

では $a_0 = 0.5$ 程度以下にすまことが望ましい。また、表-1は二層弾性体における中央変位を比較したものであるが、前述のとく層剛性比、層厚に関係なく円形加振による変位で代用してよいことを示している。

4. 載荷要素外の変位

と円形ではなく実部に差

異があるものの虚部

はよく一致している。

一方、点加振との比

較では実部、虚部と

も大差異が大きく存

在傾向にあることか

わかる。なお、表-

2の実部の値は表-1のそれよりも小さく、柔軟マトリックスとしては載荷要素へ中央変位を精度よく求めが必要があることは言うまでもない。次に、表-2の結果をまとめ、正方形加振の代りに合力が等しい点加振で代用できるものとして a_0 の変化による載荷面外の変位分布を調べたもののが図-2である。同図は a_0 の増加とともに分割要素の中央変位 x/a に対する変位分布を代表するものが詳しく示されている。図-1の結果とともに、これからも分割要素の a_0 に対して $a_0 = 0.5$ 程度以下にすまことが望ましいことがわかる。一方、表-3は二層弾性体における載荷条件の比較に層剛性比が影響を与えるかどうかを調べたものである。同表より、層剛性比に関係なく正方形加振の代りに合力が等しい点加振で代用しても差し支えをなすことなどがわかる。

5. あとがき

以上のようく、地盤の柔軟マトリックスに対するよきつた検討を行ったが、さらに分割要素の a_0 について文献4)の結果も参考にする。同文献では半無限弾性体

の複素剛性について

で分割要素の要素

寸法に対する検討

を行っている。こ

の結果では、分割

要素の a_0 を $a_0 = 0.5$

とすれば、複素剛

性の誤差としては

約 10% 以内である

うと推測される。

参考文献

1)北林他：土木学会論文誌年譲，I-17, 1983.

2)北林他：建設工学研究所報告，22, pp.167~186, 1980.

3)北林他：建設工学研究所報告，22, pp.145~166, 1980. 4)北林他：土木学会論文誌年譲，290, pp.43~52, 1979.

表-2 半無限弾性体において無次元振動数および載荷条件が載荷面外の変位に及ぼす影響 ($v_1=1/3$)

| $\frac{2\pi\mu_1 u_z}{(1-v_1)aqz}$ | a_0 | Source | $x/a=1$ | | $x/a=2$ | | $x/a=3$ | | $x/a=5$ | |
|------------------------------------|-------|----------|-----------|------------|-----------|------------|-----------|------------|-----------|------------|
| | | | Real Part | Imag. Part |
| $\frac{2\pi\mu_1 u_z}{(1-v_1)aqz}$ | 0.5 | Square | 0.8554 | -0.5745 | 0.1797 | -0.4779 | -0.0849 | -0.3375 | -0.2214 | -0.0317 |
| | | Circular | 0.8172 | -0.5748 | 0.1740 | -0.4781 | -0.0872 | -0.3377 | -0.2225 | -0.0317 |
| | | Point | 0.8228 | -0.5800 | 0.1745 | -0.4823 | -0.0889 | -0.3404 | -0.2249 | -0.0314 |
| | 1.0 | Square | 0.3835 | -0.9297 | -0.3830 | -0.3518 | -0.3391 | 0.1545 | 0.2278 | 0.1149 |
| | | Circular | 0.3453 | -0.9312 | -0.3900 | -0.3522 | -0.3425 | 0.1550 | 0.2268 | 0.1151 |
| | | Point | 0.3489 | -0.9647 | -0.4100 | -0.3613 | -0.3565 | 0.1662 | 0.2391 | 0.1196 |
| $\frac{2\pi\mu_1 u_x}{(1-v_1)aqx}$ | 0.5 | Square | 1.3793 | -0.5454 | 0.5246 | -0.4925 | 0.1951 | -0.4134 | -0.0675 | -0.2249 |
| | | Circular | 1.2931 | -0.5456 | 0.5121 | -0.4926 | 0.1909 | -0.4135 | -0.0690 | -0.2250 |
| | | Point | 1.3807 | -0.5507 | 0.5255 | -0.4971 | 0.1953 | -0.4171 | -0.0687 | -0.2264 |
| | 1.0 | Square | 1.0385 | -0.9663 | 0.0505 | -0.6303 | -0.2021 | -0.2792 | -0.0983 | 0.0047 |
| | | Circular | 0.9527 | -0.9674 | 0.0372 | -0.6309 | -0.2073 | -0.2793 | -0.1002 | 0.0047 |
| | | Point | 1.0509 | -0.9942 | 0.0437 | -0.6449 | -0.2111 | -0.2812 | -0.0985 | 0.0071 |

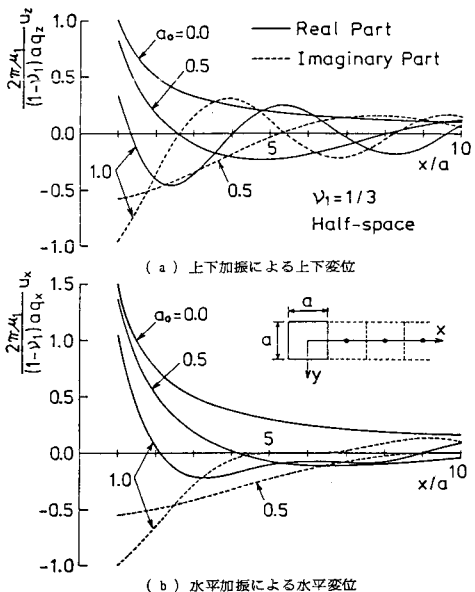


図-2 点加振力による載荷面外の変位分布に及ぼす無次元振動数の影響

表-3 二層弾性体において層剛性比および載荷条件が載荷面外の変位に及ぼす影響

($v_1=1/3$, $a_0=0.5$, $h_1/a=5$)

| $\frac{2\pi\mu_1 u_z}{(1-v_1)aqz}$ | u_2/u_1 | Source | $x/a=1$ | | $x/a=2$ | | $x/a=3$ | | $x/a=5$ | |
|------------------------------------|-----------|----------|-----------|------------|-----------|------------|-----------|------------|-----------|------------|
| | | | Real Part | Imag. Part |
| $\frac{2\pi\mu_1 u_z}{(1-v_1)aqz}$ | 2 | Square | 0.9874 | -0.6588 | 0.2884 | -0.5729 | -0.0132 | -0.4434 | -0.2467 | -0.1302 |
| | | Circular | 0.9494 | -0.6591 | 0.2830 | -0.5731 | -0.0152 | -0.4435 | -0.2475 | -0.1302 |
| | | Point | 0.9584 | -0.6640 | 0.2864 | -0.5773 | -0.0146 | -0.4467 | -0.2498 | -0.1309 |
| | 10 | Square | 1.6041 | -0.5344 | 0.8712 | -0.5128 | 0.5092 | -0.4777 | 0.0682 | -0.3736 |
| | | Circular | 1.6062 | -0.5345 | 0.9058 | -0.5128 | 0.5473 | -0.4778 | 0.1074 | -0.3736 |
| | | Point | 1.6148 | -0.5356 | 0.9093 | -0.5139 | 0.5487 | -0.4788 | 0.1071 | -0.3744 |
| $\frac{2\pi\mu_1 u_x}{(1-v_1)aqx}$ | 2 | Square | 1.4611 | -0.0728 | 0.7581 | -0.0700 | 0.4416 | -0.0655 | 0.1147 | -0.0519 |
| | | Circular | 1.4245 | -0.0728 | 0.7541 | -0.0700 | 0.4410 | -0.0655 | 0.1152 | -0.0519 |
| | | Point | 1.4315 | -0.0730 | 0.7562 | -0.0702 | 0.4413 | -0.0656 | 0.1145 | -0.0520 |
| | 10 | Square | 1.3799 | -0.5747 | 0.5192 | -0.5264 | 0.1798 | -0.4523 | -0.1105 | -0.2623 |
| | | Circular | 1.2951 | -0.5748 | 0.5081 | -0.5265 | 0.1770 | -0.4524 | -0.1106 | -0.2624 |
| | | Point | 1.3804 | -0.5782 | 0.5193 | -0.5295 | 0.1793 | -0.4549 | -0.0916 | -0.2885 |
| $\frac{2\pi\mu_1 u_x}{(1-v_1)aqx}$ | ∞ | Square | 1.3559 | -0.5647 | 0.4933 | -0.5316 | 0.1486 | -0.4789 | -0.1700 | -0.3311 |
| | | Circular | 1.2900 | -0.5649 | 0.5012 | -0.5317 | 0.1647 | -0.4791 | -0.1511 | -0.3312 |
| | | Point | 1.3766 | -0.5679 | 0.5137 | -0.5345 | 0.1685 | -0.4816 | -0.1510 | -0.3330 |
| | ∞ | Square | 1.3119 | -0.5783 | 0.4542 | -0.5456 | 0.1164 | -0.4937 | -0.1869 | -0.3468 |
| | | Circular | 1.2274 | -0.5784 | 0.4434 | -0.5458 | 0.1139 | -0.4938 | -0.1866 | -0.3469 |
| | | Point | 1.3138 | -0.5814 | 0.4559 | -0.5486 | 0.1177 | -0.4964 | -0.1865 | -0.3487 |